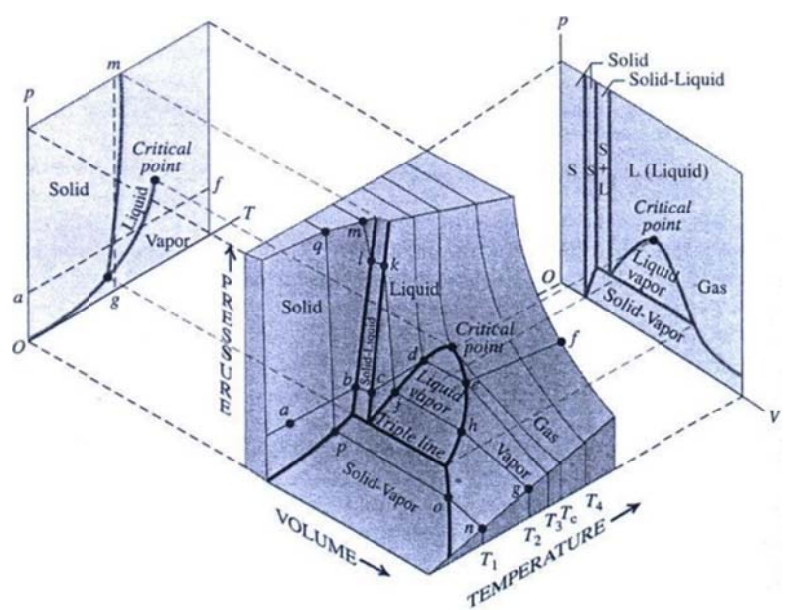
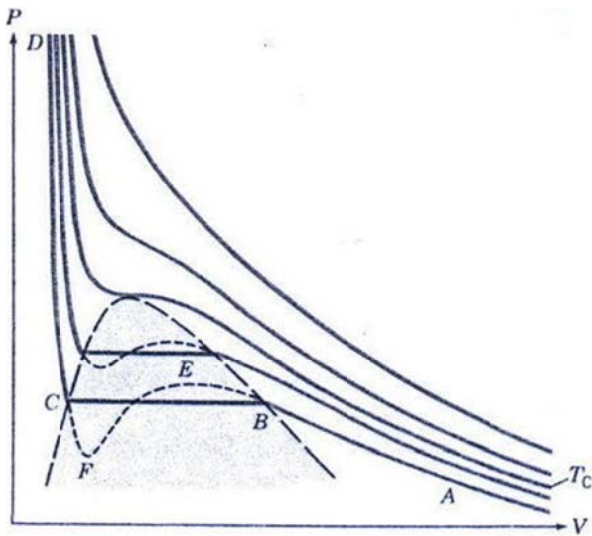


平線；液態有表面張力而氣態無)。超臨界流体有液体的攜帶力，但無液体的表面張力而可進入極細縫，故可用來乾洗、萃取、.....。 CO_2 的 T_c 只有 $31.1^\circ C$ 。



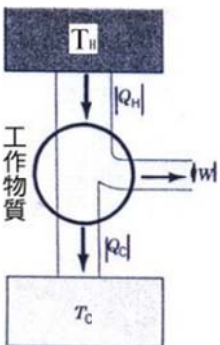
H.W. : Ex. 15, 24 ; Prob. 4, 7, 8

$P = P(V, T)$ 代表一曲面

Ch. 21 Entropy and the 2nd Law of Thermodynamics

Direction of Natural Processes (例：轉動的水停下而升溫，鐵棒兩端冷升溫熱降溫，free expansion，糖溶於水，...。)

History : Newcomen's steam engine (1712) improved by James Watt (1763~82)。



Heat Engine : 把熱變為功 ($Q_H > 0$ & $Q_C < 0$)

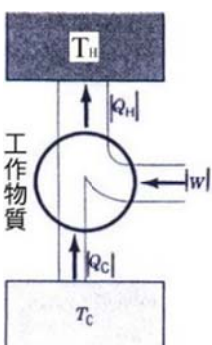
Working substance between hot & cold reservoirs in cyclic process。
例水在鍋爐吸熱變成蒸氣，推動葉片作功後在冷凝器放熱變回水。

\therefore For each cycle $\Delta U = 0$, $\therefore W = Q = Q_H + Q_C = |Q_H| - |Q_C|$ 。

Thermal efficiency $\epsilon \equiv W/Q_H = 1 + Q_C/Q_H = 1 - |Q_C|/|Q_H|$ 。

永動機研發失敗 (不可能有輪船只吸海水的熱而永遠航行) \Rightarrow

Kelvin-Planck statement of the 2nd law : 不可能把熱全變為功而無其它改變。即 no perfect engine, $\epsilon < 1$, $|Q_C| \neq 0$ 。



Refrigerator : 把熱從低溫送到高溫 ($Q_H < 0$ & $Q_C > 0$)

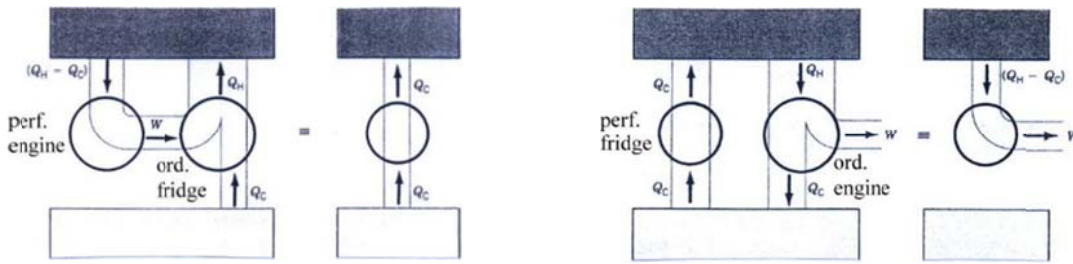
For each cycle, $W = Q = Q_H + Q_C = -|Q_H| + |Q_C| < 0$, 被作功。

Coefficient of performance COP :

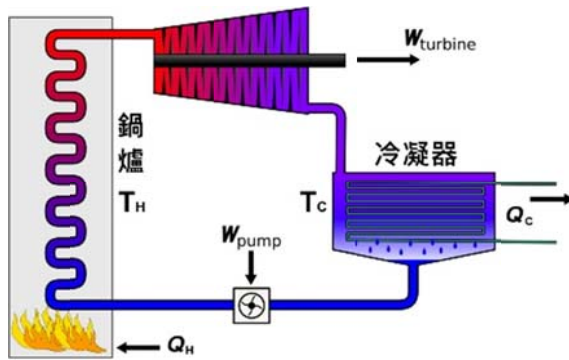
$COP \equiv |Q_C|/|W|$ for fridge ; $COP \equiv |Q_H|/|W|$ for heat pump。

Clausius statement of the 2nd law : 不可能把熱從低溫送到高溫而無其它改變。即 no perfect fridge, $COP < \infty$, $|W| \neq 0$ 。

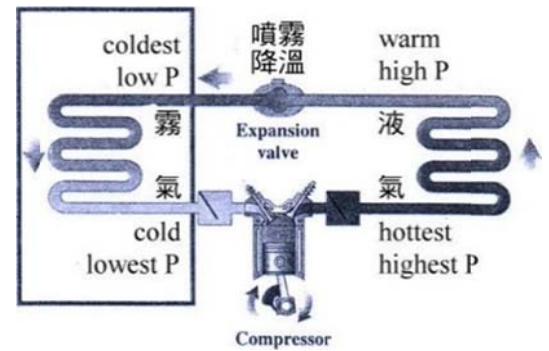
Perfect engine \Leftrightarrow Perfect refrigerator 的證明



蒸氣機



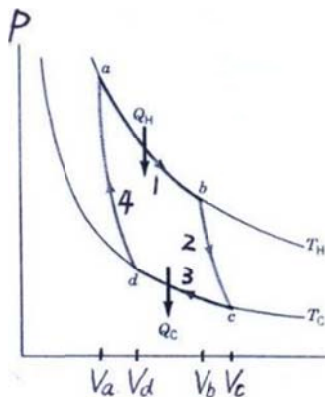
電冰箱



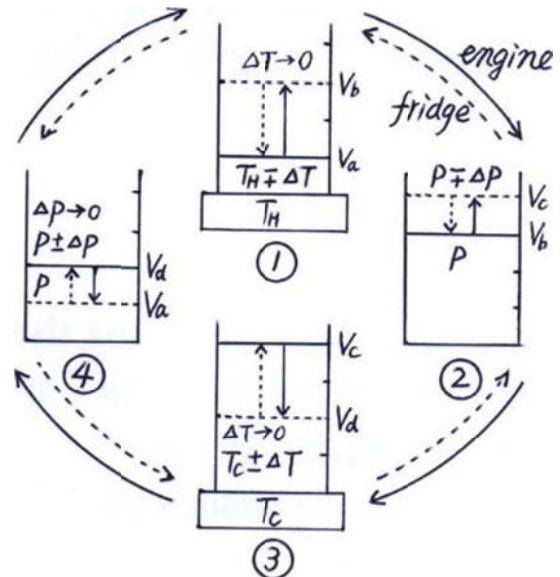
Reversible process: quasi-static, 任何時間均處在幾乎熱平衡狀態而可畫在 P-V 圖上 (At each step, heat transfer at $\Delta T \rightarrow 0$ 、work at $\Delta P \rightarrow 0$ & $\Delta V \rightarrow 0$)。

History: Sadi Carnot laid the foundation for thermodynamics using the idea of caloric。

Carnot Cycle (可逆的, 引擎&冷凍機, 任何物質任何狀態, 木石鐵氣液固)



- (1) 等溫膨脹
- (2) 絕熱膨脹
- (3) 等溫壓縮
- (4) 絕熱壓縮

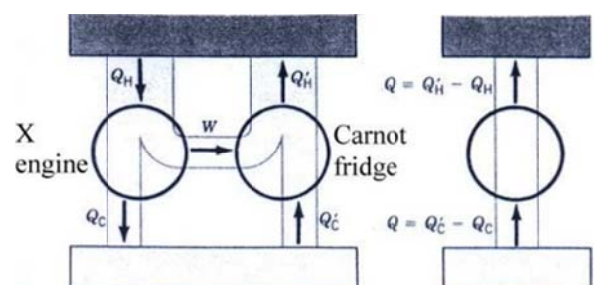


Carnot theorem: 在兩固定溫度間操作的 engine 不可能有比 Carnot engine 更高的效率; 所有 Carnot engines 都有相同的效率, 不管其工作物質為何。

Proof: 假設有一 engine X, $\epsilon_X > \epsilon_{Carnot}$ 。

讓 Carnot engine 逆轉成 Carnot fridge, 並與 engine X 合作如右圖。

$\because \epsilon_X > \epsilon_{Carnot}$, $\therefore |W|/|Q_H| > |W|/|Q'_H|$,
 $\therefore |Q'_H| > |Q_H|$, 即 $Q = |Q'_H| - |Q_H| > 0$,



得完美 fridge，違反 2nd law，不可能。故只能 $\epsilon_X \leq \epsilon_{Carnot}$ 。

若 X 是另一 Carnot2，由上式知 $\epsilon_{Carnot2} \leq \epsilon_{Carnot}$ 。將 Carnot2 逆轉成 fridge，並與 Carnot engine 合作可証明 $\epsilon_{Carnot} \leq \epsilon_{Carnot2}$ 。故 $\epsilon_{Carnot2} = \epsilon_{Carnot}$ ，與工作物質無關。

Theorem: $\epsilon_{Carnot} (\equiv 1 + Q_C/Q_H) = 1 - T_C/T_H$

Proof: 因 ϵ_{Carnot} 與物質無關，故可選用 ideal gas 作計算 (其它物質也無法計算)。

For isothermal exp. $a \rightarrow b$: $\Delta T = 0 \Rightarrow \Delta U = 0 \Rightarrow$

$$Q_H = W_{ab} = \int P dV = \int_{V_a}^{V_b} (nRT_H/V) dV = nRT_H \ln(V_b/V_a)。$$

For isothermal compr. $c \rightarrow d$: $Q_C = W_{cd} = nRT_C \ln(V_d/V_c) = -nRT_C \ln(V_c/V_d)。$

故 $Q_C/Q_H = -(T_C/T_H)[\ln(V_c/V_d)/\ln(V_b/V_a)]。$

For adiabatic processes $b \rightarrow c$ & $d \rightarrow a$: $T_H V_b^{\gamma-1} = T_C V_c^{\gamma-1}$, $T_H V_a^{\gamma-1} = T_C V_d^{\gamma-1}。$

二式相除得 $V_b/V_a = V_c/V_d$ ，故 $\epsilon_{Carnot} \equiv 1 + Q_C/Q_H = 1 - T_C/T_H$ 。 #

Carnot fridge's COP = $|Q_C|/|W| = |Q_C|/(|Q_H| - |Q_C|) = T_C/(T_H - T_C)。$

Entropy

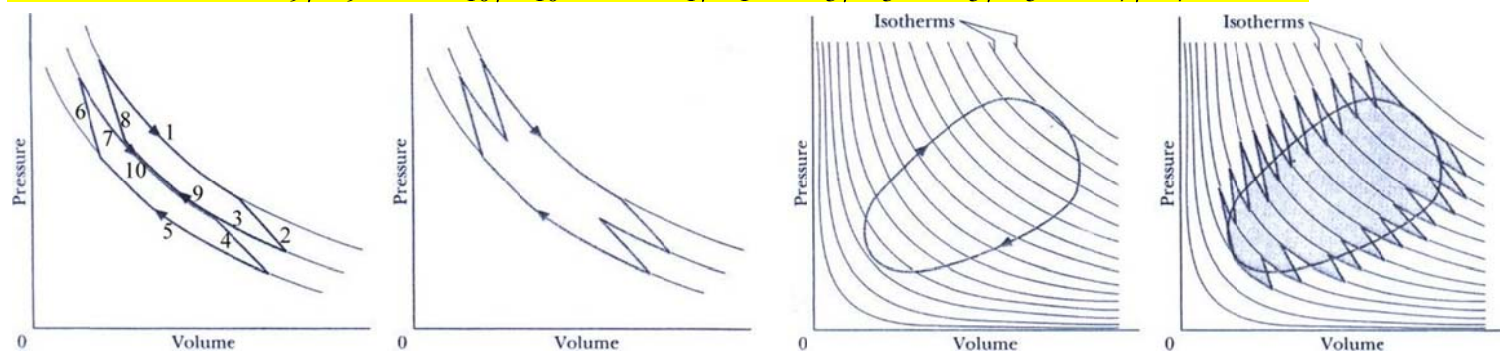
$\because \epsilon_{Carnot} \equiv 1 + Q_C/Q_H = 1 - T_C/T_H$ for any subs. , $\therefore Q_C/Q_H = -T_C/T_H$ for any subs.。

【若有物質 X 在可逆過程下 Q_C/Q_H 不等於 ideal gas 的 $-T_C/T_H$ ，即 $\epsilon_X \neq \epsilon_{ideal\ gas}$ ，則可將 ϵ 大的 (排放較少的熱到冷源) 繼續作 engine， ϵ 小的逆轉成 COP 大的 fridge (在相同的 $|W|$ 下從冷源抽出較多的熱)，而得 perfect fridge。】

得 $Q_H/T_H + Q_C/T_C = 0$ 。(Clausius 1850)

二 Carnot cycles 重疊: $Q_1/T_1 + Q_3/T_3 + Q_9/T_9 = 0$, $Q_7/T_7 + Q_{10}/T_{10} + Q_5/T_5 = 0$,

二式相加 (用 $Q_9/T_9 = -Q_{10}/T_{10}$) 得 $Q_1/T_1 + Q_3/T_3 + Q_5/T_5 + Q_7/T_7 = 0$ 。



許多 Carnot cycles 重疊如上圖: 得 $\oint dQ/T = 0$ 。(Clausius 1854)

$$\oint dQ/T = \int_{i \text{ path 1}}^f dQ/T + \int_f^i dQ/T = 0 \Rightarrow \int_{i \text{ path 1}}^f dQ/T = \int_{i \text{ path 2}}^f dQ/T。$$

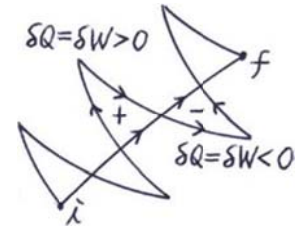
故可定義 entropy S ，其改變 $dS \equiv dQ/T$ (Clausius 1854)，

則 $\Delta S = \int_i^f dS = \int_i^f dQ/T$ 與路徑無關， S 是平衡狀態的



函數 (就像 P, V, T, U, \dots)。

【鉅齒與平滑的誤差】鉅齒 - 平滑 = 三角形循環， $\Delta U = 0$ 。
故吸熱誤差 $\delta Q = \delta W =$ 三角形面積 δA (升溫時左 > 0 右 < 0)。
若 $i \rightarrow f$ 中最低溫度是 T_{\min} ，則 $\delta(\Delta S) < (|\delta A| \text{總和})/T_{\min} \rightarrow 0$ 。



計算二狀態的 ΔS 時，必須用可連接此二狀態的可逆過程，不能用實際過程。

例：free expansion of ideal gas，實際過程中 $\Delta Q/T = 0$ ，但其實 $\Delta S \neq 0$ 。

可用任何過程，但最方便的是等溫過程： $dT = 0 \Rightarrow dU = 0 \Rightarrow dQ = dW$ ，

$$\begin{aligned} \therefore \Delta S &= \int_i^f dQ/T = (1/T) \int_i^f dW = (1/T) \int_i^f PdV = (1/T) \int_{V_i}^{V_f} (nRT/V) dV \\ &= nR \ln(V_f/V_i) > 0。 \quad (\text{用絕熱+定容升溫也很方便。}) \end{aligned}$$

例：ideal gas 的任何可逆過程， $dQ = dU + dW = nC_V dT + (nRT/V)dV$ ，

$$\begin{aligned} \therefore \Delta S &= \int_i^f dQ/T = \int_{T_i}^{T_f} (nC_V dT)/T + \int_{V_i}^{V_f} (nR/V) dV \\ &= nC_V \ln(T_f/T_i) + nR \ln(V_f/V_i)，確實與路徑無關， S 是平衡狀態的函數。 \end{aligned}$$

例：把一溫度 T_1 的銅球 (質量 m 、比熱 c) 丟入一溫度 T_2 的湖中，求 total $\Delta S = ?$

Sol：想像銅球作緩慢而均勻的吸熱，溫度 $T_1 \rightarrow T_2$ ，

$$\Delta S_1 = \int_i^f dQ/T = \int_{T_1}^{T_2} (cmdT)/T = cm \ln(T_2/T_1)。$$

湖也在溫度 T_2 均勻緩慢地吸熱 $\Delta Q = cm(T_1 - T_2)$ ，

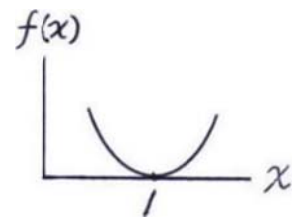
$$\Delta S_2 = \Delta Q/T_2 = cm(T_1/T_2 - 1)。$$

$$\Delta S = \Delta S_1 + \Delta S_2 = cm[-\ln(T_1/T_2) + T_1/T_2 - 1]。$$

定義 $x \equiv T_1/T_2$ ，則 $\Delta S = cmf(x)$ ， $f(x) = -\ln x + x - 1$ 。

$f(1) = 0$ ，又斜率 $f^{(1)}(x) = -1/x + 1 = (x-1)/x > 0$ 當 $x > 1$ ，

$\therefore f(x) > 0$ for all x ， $\Delta S > 0$ always。



例：原先 $[c_1, m_1, T_1]$ $[c_2, m_2, T_2] \rightarrow$ 後來 $[c_1, m_1, T]$ $[c_2, m_2, T]$ ，total $\Delta S = ?$

Sol： $c_1 m_1 (T - T_1) + c_2 m_2 (T - T_2) = 0 \Rightarrow (c_1 m_1 + c_2 m_2)T = c_1 m_1 T_1 + c_2 m_2 T_2$ ，

$$\therefore T = (c_1 m_1 T_1 + c_2 m_2 T_2) / (c_1 m_1 + c_2 m_2) \equiv (aT_1 + bT_2) / (a + b)。$$

$$\Delta S_1 = c_1 m_1 \int_{T_1}^T dT/T = a \ln(T/T_1) \quad (> 0 \text{ if } T_2 > T_1)。$$

$$\Delta S_2 = c_2 m_2 \int_{T_2}^T dT/T = b \ln(T/T_2) \quad (< 0 \text{ if } T_2 > T_1)。$$

$$\Delta S = \Delta S_1 + \Delta S_2 = a \ln\left(\frac{aT_1 + bT_2}{a+b} / T_1\right) + b \ln\left(\frac{aT_1 + bT_2}{a+b} / T_2\right)，x \equiv \frac{T_1}{T_2}。$$

$$= a \ln \frac{ax+b}{(a+b)x} + b \ln \frac{ax+b}{a+b} = (a+b) \ln \frac{ax+b}{a+b} - a \ln x \equiv f(x)。$$

$$f^{(1)}(x) = (a+b) \frac{a}{ax+b} - \frac{a}{x} = \frac{(a^2+ba)x - a^2x - ab}{(ax+b)x} = \frac{ab(x-1)}{(ax+b)x} > 0 \text{ for } x > 1。$$

又 $f(1) = 0 - 0 = 0$ ，故 $\Delta S = f(x) \geq 0$ for any x ($\Delta S = 0$ only if $x = T_1/T_2 = 1$)。

The 2nd Law of Thermodynamics (the 3rd form, Clausius 1865) :

在任何過程中，系統加環境的 total entropy 改變 $\Delta S = \Delta S_{\text{系統}} + \Delta S_{\text{環境}} \geq 0$ 。

故 $\Delta S = 0 \Leftrightarrow$ 可逆過程。

完美 engine：工作物質 S 不變，熱源 $\Delta S = Q_H/T_H = -|Q_H|/T_H < 0$ ，違反 2nd. law。

完美 fridge：熱、冷源 $\Delta S = Q_H/T_H + Q_C/T_C = |Q|/T_H - |Q|/T_C < 0$ ，違反 2nd. law。

Statistical Mechanics (統計力學)

基本假設：總能量相同的“分子系統的微觀狀態 ($\vec{r}_1, \vec{p}_1, \vec{r}_2, \vec{p}_2, \dots, \vec{r}_N, \vec{p}_N$)”
(microstate) 被系統佔據的機率均相同。

Boltzmann 導出 (1877)： $S = k \ln W$ ， $W \equiv$ (分子系統 microstates 的總數)，

Boltzmann 常數 $k = R / N_A = 1.38 \times 10^{-23} \text{ J / K}$ 。若 $S \sim O(1)$ 則 $W \sim O(\exp(10^{23}))$ 。

須全宇宙的 $S_f > S_i$ ，即 $W_f > W_i$ ，事件才會發生，即全宇宙的亂度只增不減。

例：Free expansion of ideal gas $V_i \rightarrow V_f$ 。

所有分子在 V_f 內的狀態數目 W_f 是所有分子在 V_i 內的狀態數目 W_i 的 $W_f/W_i = (V_f/V_i)^N$ 倍，故 $\Delta S = k \ln W_f - k \ln W_i = k \ln(W_f/W_i) = Nk \ln(V_f/V_i) = nR \ln(V_f/V_i)$ ，與先前結果相同。

例：化學反應 $a + b \rightarrow c + d$ ($[a, b] \quad T_i, S_i \rightarrow [c, d] \quad T_f, S_f$)

把 $[a, b]$ 與 $[c, d]$ 降溫至 $T \sim 0$ ，再算 $\int_{\sim 0}^{T_i} \frac{dQ}{T} = S_i = k \ln W_i$ 與 $\int_{\sim 0}^{T_f} \frac{dQ}{T} = S_f = k \ln W_f$ ，

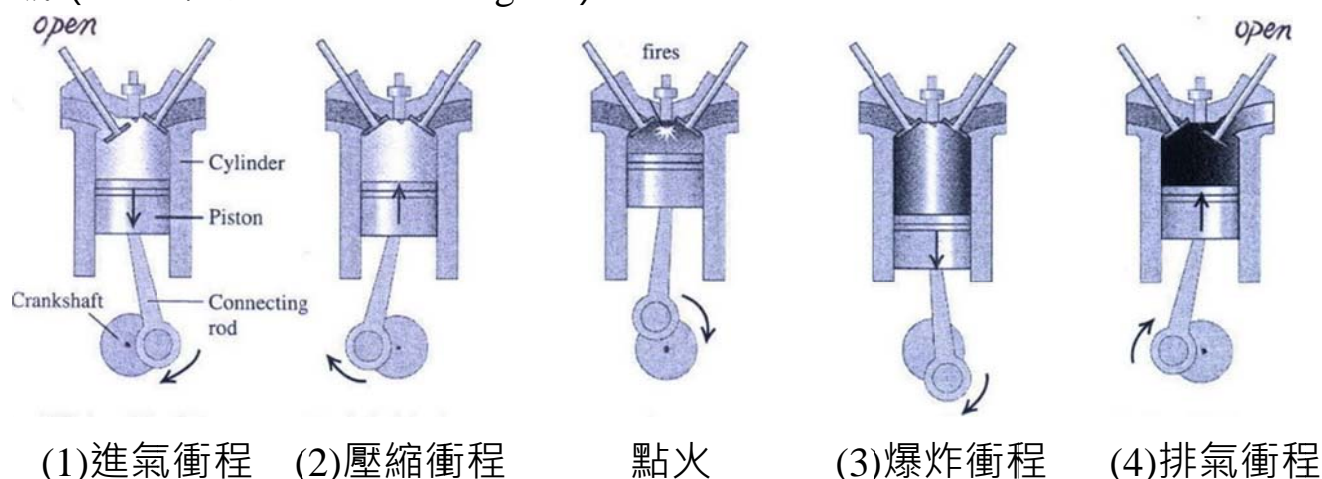
必須 $W_f > W_i$ ($[c, d]$ 能存在的微觀狀態較多) 反應才會發生。

Free expansion 的 V_f 不會小於 V_i ，分子不會乖乖全集中到下半空間；已溶解的方糖也不會重聚為方糖，不是不可能，而是機率小到幾乎永遠等不到。Direction of natural processes 是由機率決定，而不是由物理定律決定。宇宙的最終命運是均勻死寂無結構。

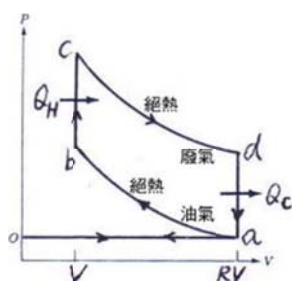
Ordered motion (例如風) –higher grade energy，可全用來作功。

Disordered motion (例分子速率分布) –lower grade energy，只能部分作功。

內燃機 (四衝程引擎 4-stroke engine)



Otto cycle



$d \rightarrow a$ 表排廢氣&吸油氣， $b \rightarrow c$ 表點火，二絕熱線表壓縮 & 爆開。壓縮比 R (體積 $RV \rightarrow V$)。

假設油氣與廢氣有相同的熱容量 C ， $Q_H = C(T_c - T_b) > 0$ ，
 $Q_C = C(T_a - T_d) < 0$ 。

Efficiency $\epsilon \equiv 1 + Q_C/Q_H = 1 + (T_a - T_d)/(T_c - T_b)$ 。

Assume ideal gas, then $T_c V^{\gamma-1} = T_d (RV)^{\gamma-1}$, $T_b V^{\gamma-1} = T_a (RV)^{\gamma-1}$,

$\Rightarrow T_c = T_d R^{\gamma-1}$, $T_b = T_a R^{\gamma-1}$, $\therefore \epsilon = 1 - (T_d - T_a)/(T_d R^{\gamma-1} - T_a R^{\gamma-1}) = 1 - 1/R^{\gamma-1}$ 。

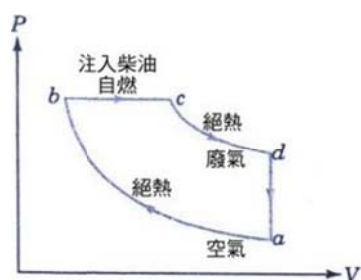
因此 $R \uparrow \Rightarrow \epsilon \uparrow$ ，但 $R \uparrow \Rightarrow T_b \uparrow \Rightarrow \text{pre-ignition} \Rightarrow \text{engine damage}$ 。

加入一些物質，使汽油抗自燃能力與「異辛烷 X% 及 (100-X)% 正庚烷的混合液」相等 (辛烷值 X) \Rightarrow 油氣耐高溫 \Rightarrow 防止 pre-ignition，或

\Rightarrow higher R allowed $\Rightarrow \epsilon \uparrow$ 。

$\gamma = 1.4$ for air, $R = 8 \Rightarrow \epsilon = 56\%$ 。但 for real engine, $\epsilon \sim 20\%$ only, 原因: not ideal gas, irreversible, friction, turbulence, heat loss, incomplete combustion, ...。

Diesel Cycle



柴油被注入壓縮的高溫空氣而自燃，不需火星塞點火，no carburetor, no spark plug。 \therefore no fuel at compression stroke, \therefore no pre-ignition, higher R allowed (15~20) \Rightarrow higher ϵ ($\gamma = 1.4 \Rightarrow \epsilon = 0.65 \sim 0.7$)。

較有力但較難啟動，fuel injection 精密度要求高。

H.W. : Prob. 1, 2, 3, 5, 7, 8, 10, 11, 12